

УДК 538.56 : 519.25

ВЗАИМОДЕЙСТВИЕ СЛУЧАЙНЫХ ВОЛН В НЕЛИНЕЙНЫХ СРЕДАХ

С. А. Ахманов

СОДЕРЖАНИЕ

I. ВВЕДЕНИЕ

1. Статистические задачи в физике нелинейных волн
2. Когерентные и некогерентные нелинейные взаимодействия
Недиспергирующая среда

II. ПАРАМЕТРИЧЕСКИЕ ВЗАИМОДЕЙСТВИЯ СЛУЧАЙНО-МОДУЛИРОВАННЫХ ВОЛН В ДИСПЕРГИРУЮЩИХ СРЕДАХ

1. Регулярная накачка — статистика сигнала
2. Шумовая накачка — усреднение точных решений
Квазистатистический режим
Случай равенства двух групповых скоростей. Некогерентный режим усиления
3. Шумовая накачка — уравнения для средних
Фоккер-планковское приближение
Накачка с диффундирующей фазой
Метод уравнений Дайсона

III. ВЫНУЖДЕННОЕ КОМБИНАЦИОННОЕ РАССЕЯНИЕ В ПОЛЕ ШУМОВОЙ НАКАЧКИ

1. Квазистатистический режим ВКР в поле шумовой накачки
2. ВКР в диспергирующей среде с широкими рамановскими линиями
3. Шумовая накачка в недиспергирующей среде с медленно релаксирующими молекулярными колебаниями
4. Шумовая накачка в условиях одновременного проявления молекулярной релаксации и дисперсии среды. Некогерентное рассеяние
Характеристика некогерентного рассеяния (фоккер-планковское приближение)
Когерентное и некогерентное ВКР — метод уравнений Дайсона
5. Эксперименты по ВКР в поле шумовой накачки

IV. О ПРЕОБРАЗОВАНИИ ПРОСТРАНСТВЕННОЙ СТАТИСТИКИ ВОЛН В АКТИВНЫХ И НЕЛИНЕЙНЫХ СРЕДАХ

V. ЗАКЛЮЧЕНИЕ

I. ВВЕДЕНИЕ

1. Статистические задачи в физике нелинейных волн

Статистическое обобщение результатов уже сравнительно хорошо разработанной динамической теории нелинейных волн привлекает в последние годы все большее внимание.

Необходимость в таком обобщении диктуется как самой логикой развития теории нелинейных волн (исследование нелинейных эффектов в поле случайных волн является естественным следующим шагом, после того как понята динамика нелинейных взаимодействий в поле регулярно

модулированных волн), так и рядом специфических задач, возникающих в нелинейной акустике, нелинейной оптике, лазерной физике и т. п.

Дать классификацию статистических задач, возникающих в физике нелинейных волн, можно, не обращаясь к обсуждению конкретных явлений. В статистической теории нелинейных волн речь идет в первую очередь об изучении

- 1) статистических явлений, обусловленных случайной модуляцией волн, падающих на нелинейную среду («статистика поля»),
- 2) статистических явлений, обусловленных случайной неоднородностью нелинейной среды («статистика среды»),
- 3) статистических явлений, обусловленных наличием в нелинейной среде распределенных шумовых источников («статистика источников»).

Перечисленные проблемы представляют значительный интерес практически для всех известных нелинейных волновых эффектов; часто в физических задачах все три перечисленных выше фактора могут проявляться одновременно.

По-видимому, впервые статистические нелинейные задачи, связанные со «статистикой источников», рассматривались в акустике. Речь идет о работах, в которых исследовалось затухание гиперзвука, обусловленное взаимодействием с тепловыми фонами (см., например, обзор [1]). На современном языке этот процесс следует трактовать как преобразование частоты «наверх» в поле шумовой накачки.

Широкий класс статистических задач связан с нелинейной оптикой [2]. Интересно, что эффекты «статистики поля» были зарегистрированы уже в ранних опытах по умножению частоты излучения многомодовых лазеров в кристаллах [3, 4]. В 1963 г. экспериментально наблюдалось также смешение когерентного и некогерентного света [5]. В 1965 г. был зарегистрирован один из интереснейших эффектов, связанных со «статистикой среды» — нелинейное молекулярное рассеяние [6, 7], обусловленное пространственными флуктуациями нелинейной восприимчивости. К 1966—1967 гг. относятся первые работы, где исследовалось влияние статистической неоднородности линейных параметров среды на протекание нелинейных волновых взаимодействий [8]; в дальнейшем это направление интенсивно развивалось [2].

Изучение эффектов «статистики поля» в последующие годы было связано прежде всего с проблемами шумовой накачки. Эти исследования были начаты применительно к возбуждению гармоник оптического шума [9]; однако особый интерес они приобрели в связи с исследованием параметрических процессов и вынужденного рассеяния в поле шумовой накачки [10—15]. Наконец, в самое последнее время интересные результаты были получены при исследовании преобразования пространственной статистики световых полей в активных и нелинейных средах (см., например, [16—18]). Задачи статистической нелинейной оптики — это статистические задачи теории нелинейных волн в сильнодиспергирующей среде. Аналогичные проблемы возникают, разумеется, и в теории нелинейных волн в средах со слабой дисперсией — в нелинейной акустике и газодинамике (см., например, [20—22]). Речь идет о распространении интенсивных шумоподобных акустических сигналов в газах и жидкостях. Простейшей по постановке статистической задачей (с точки зрения приведенной выше классификации ее надо отнести к «статистике поля») является здесь задача о распространении квазигармонического шума в слабодиспергирующей среде; различные его этапы прослежены в недавней работе [22].

Со статистическими задачами, близкими в ряде случаев к статистическим задачам нелинейной оптики, приходится сталкиваться и в физике плазмы (см., например, [23, 24]).

Таким образом, в нелинейной теории волн точно так же, как это происходило в свое время в нелинейной теории колебаний, бурно развивается раздел, связанный с анализом статистических задач, разработкой специфических статистических методов. В ряде случаев отчетливо прослеживаются параллели между статистической теорией нелинейных волн и статистической теорией нелинейных колебаний; в целом же статистическая теория нелинейных волн несомненно разнообразнее и богаче. Даже если говорить о задачах, укладываемых в так называемую пространственно-временную аналогию [25], то и здесь отчетливо проявляется смещение акцентов.

В статистической теории нелинейных волн неизмеримо большее внимание, нежели в статистической теории колебаний, уделяется неустанно развившимся процессам.

Особое место среди широкого круга задач современной статистической теории нелинейных волн занимают задачи, связанные с исследованием влияния временной статистики (временной когерентности) волн на их распространение в нелинейных средах, — хорошо известно, что именно временная дисперсия решающим образом определяет поведение волн в нелинейной среде.

Ниже сделана попытка дать по возможности полную картину статистических эффектов (связанных прежде всего с временной «статистикой поля») в таких фундаментальных процессах, как трехчастотное параметрическое взаимодействие и вынужденное рассеяние (распадные нелинейные эффекты). Особое внимание при этом уделено шумовой накачке. Шумовая накачка в распадных взаимодействиях представляет интерес с нескольких точек зрения.

1. Изучение статистики рассеянного излучения можно использовать для получения информации о статистике накачки, в частности о ее высших корреляционных функциях.

2. Принципиальным является вопрос об эффективности шумовой накачки в нелинейном процессе. Здесь есть два аспекта. С одной стороны, представляет интерес реализация условий, при которых эффективность шумовой накачки приближается к эффективности гармонической накачки той же мощности.

Такая постановка вопроса типична для нелинейной оптики, в частности оптики ультрафиолетового и рентгеновского диапазона, где создание высокомонохроматических источников пока еще наталкивается на значительные трудности. С другой стороны, применительно к таким задачам, как лазерный нагрев плазмы, распространение радиоволн в ионосфере и т. п., параметрические процессы и вынужденное рассеяние являются причинами вредных неустойчивостей (распадных) мощной волны. В связи с этим представляет интерес отыскание способов модуляции мощной волны, способствующих ее стабилизации; шумовая модуляция оказывается одним из перспективных методов.

2. Когерентные и некогерентные нелинейные взаимодействия

Наиболее важным эффектом, возникающим при взаимодействии случайно-модулированных во времени волн в диспергирующей* среде, является распад фазовых корреляций в процессе распространения. В результате на длинах z , превышающих некоторую характерную (так называемую когерентную) длину $L_{\text{ког}}$, первоначально когерентное (фазовые соотношения фиксированы) взаимодействие становится некогерентным взаимодействием слабнекоррелированных волн.

* Здесь и в дальнейшем, если не делается специальных оговорок, говоря о диспергирующей или недиспергирующей среде, мы имеем в виду только дисперсию, связанную с линейным откликом.

Чтобы пояснить сказанное, рассмотрим процесс удвоения частоты квазимонохроматического гауссова шума в диспергирующей среде с безынерционной нелинейностью. Представим поле на входе в среду в виде

$$E_1(t, z) = A_1(t, z) \exp [i(\omega t - k_1 z)] + \text{к. с.} \quad (1.1)$$

Если поле E_1 можно считать заданным, для комплексной амплитуды второй гармоники $A_2(t, z)$ в первом приближении теории дисперсии имеем уравнение

$$\left[\frac{\partial}{\partial z} + \frac{1}{u_2} \frac{\partial}{\partial t} \right] A_2 = -i\beta A_1^2 \left(t - \frac{z}{u_1} \right) e^{-i\Delta z}, \quad (1.2)$$

где $u_{1,2}$ — групповые скорости основной волны и гармоники, $\Delta = k_2 - 2k_1$. Нетрудно видеть, что характер процесса определяется соотношением между временем корреляции основной волны τ_1 и временем группового запаздывания

$$T_3 = l \left| \frac{1}{u_2} - \frac{1}{u_1} \right| \equiv l |\nu|, \quad (1.3)$$

где l — длина нелинейной среды. Если $\tau_1 > T_3$, в (1.2) можно положить $u_1 = u_2$ и отбросить временную производную. В этом случае интенсивности $I_k = A_k A_k^*$ волн связаны алгебраически: $I_2 = \gamma_2 I_1^2$ — происходит безынерционное преобразование шума. Для гауссова шума —

$$\omega(I_1) = \frac{1}{\bar{I}_1} \exp(-I_1/\bar{I}_1), \quad \bar{I}_2 = 2\gamma_2 (\bar{I}_1)^2.$$

Для произвольной n -й гармоники —

$$\bar{I}_n = n! \gamma_n (\bar{I}_1)^n. \quad (1.4)$$

Этот режим удвоения частоты может быть назван когерентным; поле гармоники в некоторой пространственно-временной точке (t, z) определяется полем основной волны в той же самой точке (происходит квазистатическое преобразование). Важно подчеркнуть, что в когерентном режиме шум действует эффективнее, нежели гармонический сигнал той же средней интенсивности; причиной этого является чувствительность нелинейного эффекта к выбросам гауссова шума.

Если $\tau_1 \sim T_3$ и $\tau_1 < T_3$, ситуация меняется; шум становится менее эффективным, нежели гармоническая волна. Теперь нелинейная среда протяженностью l не успевает «отслеживать» быстрые изменения интенсивности шума; преобразование становится инерционным (по отношению к нелинейному взаимодействию среда становится узкополосным устройством с «дисперсионной» полосой $\Delta\Omega = T_3^{-1}$). Волновая картина эффекта усложняется; поле гармоники в некоторой пространственно-временной точке определяется интегралом от поля гармоники; фазовые корреляции распадаются* — процесс становится некогерентным. Простота уравнения (1.2) позволяет проследить все эти этапы, пользуясь его общим решением; оно имеет вид

* Декорреляция за счет эффектов группового запаздывания наиболее характерна для реальных задач нелинейной оптики. Если же точно $u_1 = u_2$, сбой фазовых соотношений связан с расплыванием пакетов; характерный масштаб здесь $L'_{\text{ког}} = \tau_1^2 \left| \frac{\partial^2 k}{\partial \omega^2} \right|$.

$$A_2(t, z) = -i\beta \int_0^z A_{10}^2 \left[t - \frac{z}{u^2} - v\xi \right] e^{-\Delta\xi} d\xi. \quad (1.5)$$

Пользуясь (1.5) для корреляционной функции гармоники, имеем

$$B_2(\tau, z) = -2\beta^2 \int_0^z \int_0^z B_{10}^2 [\tau - v(\xi_1 - \xi_2)] \cos \Delta(\xi_1 - \xi_2) d\xi_1 d\xi_2, \quad (1.6)$$

где $B_{10}(\tau)$ — корреляционная функция основной волны.

Из (1.5), (1.6) непосредственно следует, что характерными масштабами, разделяющими квазистатистический и неквазистатистический режимы удвоения, являются связанные между собой характерное время $T_3 = z|v|$ или полоса

$$\Delta\Omega = \frac{1}{T_3} = \frac{1}{z|v|} \quad (1.7)$$

и так называемая когерентная длина

$$L_{\text{кор}} = \frac{\tau_1}{|v|}. \quad (1.8)$$

Если $\tau_1 \gg T_3$ (соответственно полоса шума $\Delta\omega_1 \ll \Delta\Omega$ или $z \ll L_{\text{кор}}$), режим удвоения — квазистатистический и согласно (1.6)

$$\bar{I}_2 = 2\beta^2 (\bar{I}_1)^2 z^2 \sin^2 \frac{\Delta z}{2} \quad (1.8a)$$

(см. рис. 1). При этом ширина спектра гармоники несколько шире спектра основной волны.

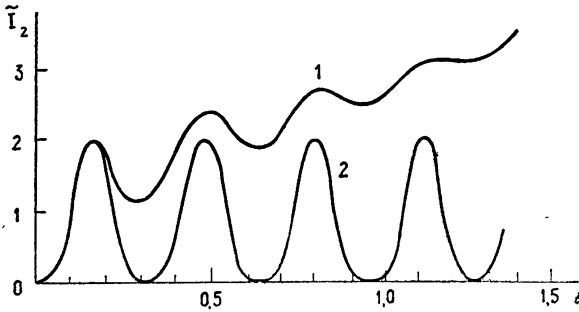


Рис. 1. Зависимость нормированной средней интенсивности второй гармоники \tilde{I}_2 , возбуждаемой узкополосным гауссовым шумом от расстояния, пройденного в нелинейной среде.

Кривая 1 соответствует некогерентному взаимодействию; кривая 2 — когерентному. Для обеих кривых $\Delta \neq 0$

Напротив, если $\tau_1 \ll T_3$ ($\Delta\omega_1 \gg \Delta\Omega$, $z \gg L_{\text{кор}}$),

$$\bar{I}_2 = 4\beta^2 z L_{\text{кор}} \int_0^\infty B_{10}^2(x) \cos(L_{\text{кор}} \Delta x) dx, \quad (1.9)$$

т. е. $\bar{I}_2 \sim z$ (кривая 1 рис. 1). Ширина спектра гармоники $\Delta\omega_2 \ll \Delta\omega_1$, в пределе $\Delta\omega_2 \approx \Delta\Omega$ (см. рис. 2).

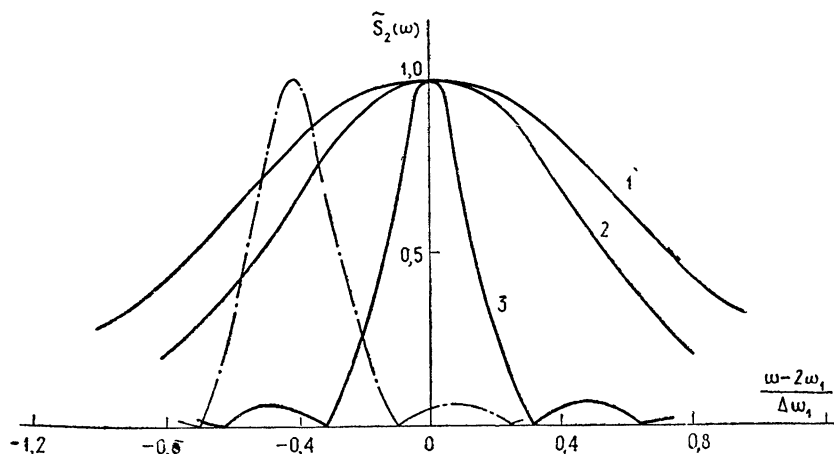


Рис. 2. Спектр второй гармоники, возбуждаемой узкополосным шумом. Кривые 1, 2, 3 соответствуют $\Delta=0$, причем для 1 — $z \ll L_{\text{ког}}$; 2 — $z = L_{\text{ког}}$; 3 — $z = 5L_{\text{ког}}$. Пунктирная кривая соответствует случаю $\Delta = L_{\text{ког}}^{-1}$, $z = 5L_{\text{ког}}$.

Можно показать, что в рассматриваемом случае уравнение (I.2) переходит в уравнение для средней интенсивности гармоники

$$\frac{d\bar{I}_2}{dz} = \gamma_{\text{эфф}} (\bar{I}_1)^2. \quad (\text{I.10})$$

Последнее и означает, что фазовые корреляции в значительной мере утрачиваются, а процесс становится некогерентным. Здесь уместно напомнить, что в поле регулярных волн нелинейное взаимодействие становится некогерентным лишь в том случае, когда часть энергии волн затрачивается на возбуждение внутренних движений среды.

Наличие общего решения (I.5) позволяет дать полный анализ когерентного и некогерентного режимов удвоения и проследить переход между ними. Для трехчастотных параметрических взаимодействий этот анализ значительно сложнее; как будет показано ниже (см. гл. II, III), здесь, вообще говоря, требуется привлечение достаточно мощных математических методов.

Недиспергирующая среда. В соответствии с вышеизложенным, в недиспергирующей среде с безынерционной нелинейностью происходит безынерционное преобразование «случайного поля» (здесь $T_3 \rightarrow 0$, а соответствующая полоса $\Delta\Omega \rightarrow \infty$). Поэтому процесс обогащения спектра квазигармонического шума $E(t) = A_0(t) \sin[\omega_0 t + \varphi_0(t)]$ (где $A_0(t)$ и $\varphi_0(t)$ — случайные функции) высшими гармониками можно рассчитывать квазистатически. Если среда описывается уравнением Бюргерса (т. е. речь идет о распространении случайно-модулированных акустических сигналов конечной амплитуды)

$$\frac{\partial E}{\partial z} = \frac{\epsilon}{c_0^2} E \frac{\partial E}{\partial \eta}, \quad \eta = t - \frac{z}{c_0}, \quad (\text{I.11})$$

можно сразу записать его общее решение (для этого аргумент t в гра-

ничном условии следует заменять на $\eta + \frac{\varepsilon E z}{c_0^2}$). С помощью разложения Бесселя — Фубини поле в произвольном сечении среды записывается в виде ряда по временным гармоникам, амплитуды которых непосредственно выражаются через амплитуду входного сигнала:

$$E(\eta, z) = \sum_{n=1}^{\infty} \frac{2J_n[nz \tilde{A}(\eta)]}{nz} \sin n[\omega_0 \eta + \varphi(\eta)], \quad (I.12)$$

где \tilde{A} — нормированное значение A_0 . На рис. 3 представлены рассчитанные с помощью (I.12) графики зависимости интенсивностей первых трех гармоник от расстояния, пройденного в нелинейной среде; здесь же для сравнения приведены соответствующие графики для гармонического возмущения на границе нелинейной среды, имеющего ту же среднюю интенсивность. Видно, что для шума истощение основной волны и нарастание гармоник происходит быстрее, нежели для гармонического сигнала — вывод, полностью согласующийся с результатами предыдущего пункта. Пользуясь (I.12), можно показать, что интенсивности n -й

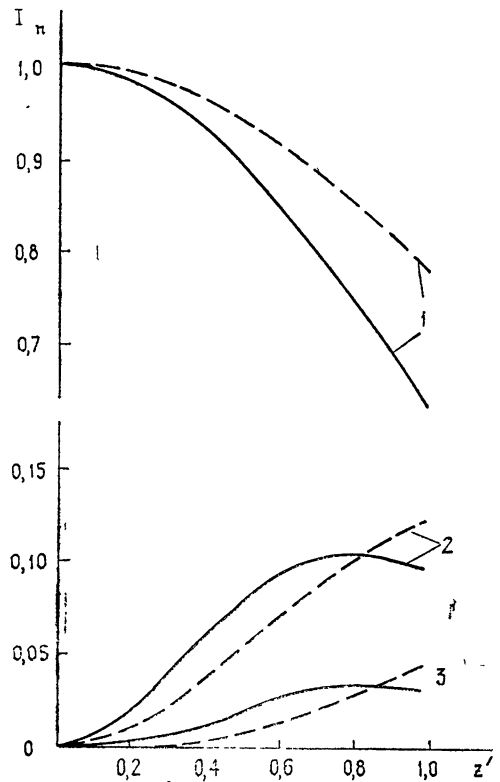


Рис. 3. Зависимость интенсивностей первой (1), второй (2) и третьей (3) гармоник в нелинейной недиспергирующей среде, возбуждаемых узкополосным шумом (сплошные кривые) и гармонической волной (пунктир) от приведенного расстояния.

гармоники, возбуждаемой в недиспергирующей среде квазимонохроматическим шумом и гармоническим сигналом $I_n^m/I_n^r = n!$, — в полном соответствии с (I.4). Разумеется, проведенное рассмотрение справедливо лишь до тех пор, пока можно не учитывать диссипацию (см [22]). Уместно обратить здесь внимание на определенную унификацию терминов в статистической теории нелинейных волн. Анализ распространения интенсивных шумов в недиспергирующих средах естественно проводить в тех же терминах, что и для диспергирующих сред. Первоочередной интерес представляет поведение гармоник, формы их спектров и т. п. Вместе с тем такая важная в динамических задачах характеристика, как длина формирования разрыва, в статистической теории в значительной мере теряет смысл.

II. ПАРАМЕТРИЧЕСКИЕ ВЗАИМОДЕЙСТВИЯ СЛУЧАЙНО-МОДУЛИРОВАННЫХ ВОЛН В ДИСПЕРГИРУЮЩИХ СРЕДАХ

В этой главе мы рассмотрим эффекты «статистики поля» для одного из наиболее фундаментальных классов нелинейных волновых взаимодействий — трехчастотного параметрического взаимодействия, при котором энергия волны накачки (частоты ω_n) передается волнам на частотах $\omega_{1,2}$, $\omega_n = \omega_1 + \omega_2$. В заданном поле накачки рассматриваемое взаимодействие описывается уравнениями для комплексных амплитуд

$$\left(e_1 \frac{\partial}{\partial z} + \frac{1}{u_1} \frac{\partial}{\partial t} + \delta_1 \right) A_1 \equiv \hat{L}_1 A_1 = \beta_1 A_n(\theta) A_2^* e^{-i\Delta z}; \quad (\text{II.1})$$

$$\left(e_2 \frac{\partial}{\partial z} + \frac{1}{u_2} \frac{\partial}{\partial t} + \delta_2 \right) A_2 \equiv \hat{L}_2 A_2 = \beta_2 A_n(\theta) A_1^* e^{-i\Delta z}. \quad (\text{II.2})$$

Здесь $e_{1,2} = \pm 1$ (могут рассматриваться прямые и обратные волны), $\beta_{1,2}$ — коэффициенты нелинейной связи. Заданная амплитуда накачки $A_n(\theta) \equiv A_n\left(t - \frac{z}{u_n}\right)$. В (II.1), (II.2) предполагается, что для средних частот ω_i выполняется соотношение

$$k_n = k_1 + k_2 + \Delta.$$

В окрестности средних частот

$$k_i(\omega_i + \Delta\omega) = k_i(\omega_i) + \frac{\partial k_i}{\partial \omega_i} \Delta\omega + \frac{\partial^2 k_i}{\partial \omega_i^2} \Delta\omega^2 + \dots \quad (\text{II.3})$$

Уравнения (II.1), (II.2) записаны с учетом только первых двух членов в разложении (II.3); $u_i = \left(\frac{\partial \omega}{\partial k}\right)_i$ — первое приближение теории дисперсии, соответствующее приближению геометрической оптики. В рассматриваемых ниже задачах это приближение оказывается вполне удовлетворительным* (исключением является лишь гл. II, разд. 1). Эффекты статистики поля в рассматриваемом взаимодействии могут быть связаны со случайной модуляцией волн на частотах ω_1 и ω_2 и волны накачки. Рассмотрим эти эффекты по отдельности.

1. Регулярная накачка — статистика сигнала

Если накачка немодулирована, т. е. $A_n = \text{const}$, а $A_{1,2}$ — случайные функции, систему (II.1), (II.2) можно решить, переходя к спектрам $A_i(t, z) = \int_{-\infty}^{\infty} A_i(z, \omega) e^{i\omega t} d\omega$. Вводя статический коэффициент усиления $\gamma = \Gamma_0/2 = \sqrt{\beta_1 \beta_2 I_n}$ и групповую расстройку $\nu_{21} = u_2^{-1} - u_1^{-1}$, можно определить полосу усиления (так называемые полосы параметрической люминесценции и сверхлюминесценции), если речь идет о статистике собственного шума на выходе усилителя. Результаты суммированы в табл. 1. Нетрудно рассчитать и одномерную статистику полей A_1, A_2 . Наиболее интересные эффекты возникают при $\omega_1 \approx \omega_2$

* Учет члена с $\frac{\partial^2 k}{\partial \omega^2}$ становится существенным лишь в условиях, когда длина нелинейной среды $l > L'_{\text{ког}} = \tau_k \left(\frac{\partial^2 k}{\partial \omega^2}\right)^{-1}$. По-видимому, в оптике с такой ситуацией приходится сталкиваться при наблюдении резонансных нелинейных эффектов в газах и парах...

(вырожденный режим); здесь при гауссовой статистике входного сигнала одномерное распределение на выходе оказывается существенно негауссовым (см. [26]).

Т а б л и ц а 1
Полосы параметрической люминесценции
и сверхлюминесценции

| $\Gamma_0 z \gg 1$ | $\Gamma_0 z \ll 1$ |
|--|--|
| $u_1 = u_2$ | $u_1 = u_2$ |
| $\Delta\omega = \frac{(4\Gamma_0 z)^{1/4}}{\sqrt{\frac{\partial^2 k_1}{\partial \omega_1^2} z}}$ | $\Delta\omega = \sqrt{\frac{\pi}{\frac{\partial^2 k_1}{\partial \omega_1^2} z}}$ |
| $u_1 \neq u_2$ | $u_1 \neq u_2$ |
| $\Delta\omega = \frac{2\sqrt{\pi\Gamma_0 z}}{ \nu_{21} z}$ | $\Delta\omega = \frac{\pi}{ \nu_{21} z}$ |

2. Шумовая накачка — усреднение точных решений

Квазистатистический режим. Для трехчастотного взаимодействия дисперсия среды характеризуется тремя характерными временами $T_{ij} = l|1/u_i - 1/u_j| \equiv l|\nu_{ij}|$, $i, j = 1, 2, n$. Если время корреляции накачки $\tau_n > T_{ij}$ для любых i, j , групповые скорости всех волн в (II.1), (II.2) можно считать равными $u_1 = u_2 = u_n = u$. Тогда уравнения сводятся к уравнениям в обыкновенных производных, и можно использовать стандартные решения. Рассмотрим для простоты вырожденный режим ($\omega_1 = \omega_2 = \omega_n/2$) параметрического усилителя с гауссовой шумовой накачкой. Решение имеет вид

$$A_c \equiv A_{1,2} = \{a(\theta) \exp[\beta A_n(\theta) z] + ib(\theta) \exp[-\beta A_n(\theta) z]\} e^{-\delta z}, \quad (\text{II.4})$$

где $\theta = t - z/u$, постоянные a и b определяются краевыми условиями. Вычисляя с помощью (II.4) среднюю интенсивность сигнала (полагаем, что входной сигнал — монохроматический), получаем

$$\bar{I}_c = |\bar{A}_c|^2 = |A_{c0}|^2 \exp[2(\gamma^2 z - \delta) z], \quad (\text{II.5})$$

где $\gamma = \beta \sqrt{\bar{I}_n} = \Gamma_0/2$ (Γ_0 — инкремент в поле гармонической накачки). Из (II.5) следует, таким образом, что в квазистатистическом режиме средняя интенсивность сигнала в поле шумовой накачки растет быстрее, нежели в поле гармонической накачки той же средней мощности*. Пользуясь (II.4), можно найти и корреляционную функцию стоковского сигнала. Вводя нормированный коэффициент корреляции накачки

$$R(\tau) = \frac{\overline{A_n(t + \tau) A_n^*(t)}}{\bar{I}_n},$$

получаем

$$\begin{aligned} \overline{A_c(t + \tau, z) A_c^*(t, z)} &= I_{c0} \exp\{(\gamma z)^2 [1 + R(\tau)] - 2\delta z\} \approx \\ &\approx I_{c0} \exp(-\delta z) \exp\left[-\frac{1}{2}(\gamma z \tau)^2 \frac{\partial^2 R}{\partial \tau^2}\right]. \end{aligned} \quad (\text{II.6})$$

* Еще сильнее эффект шумовой накачки оказывается в квазистатистическом режиме ВКР — см. гл. III, разд. 1.

Из (II.6) следует, что ширина спектра сигнала

$$\Delta\omega_c = \Delta\omega_n \gamma z \quad (\text{II.7})$$

нарастает с ростом координаты (разумеется, формулой (II.7) можно пользоваться лишь для $z < L_{\text{кор}} = \tau_n |\nu|^{-1}$).

Случай равенства двух групповых скоростей. Некогерентный режим усиления. Точные решения уравнений (II.1), (II.2) удается получить также, когда групповые скорости двух волн совпадают. Такие решения получены, если $u_1 = u_n$ или $u_2 = u_n$, или $u_1 = u_2 = u$ (но $u \neq u_n$). Здесь мы рассмотрим только третий из перечисленных случаев; решения, соответствующие первым двум, обсуждаются в гл. III, разд. 1. Вводя

$\theta_1 = t - \frac{z}{u}$, $\theta = t - \frac{z}{u_n}$ и полагая накачку амплитудно-модулированной шумовой волной ($\varphi_n = \text{const}$, $\text{Im } A_n = 0$), для амплитуды сигнала имеем

$$A_c(t, z) = [a(\theta_1) e^\xi + ib(\theta_1) e^{-\xi}] \exp\left(-\delta z + i \frac{\varphi_n}{2}\right), \quad (\text{II.8})$$

где

$$\xi = \xi(t, z) = \beta \int_0^z A_n \left(t - \frac{z}{u} + \nu z'\right) dz'.$$

Для накачки с лоренцевым спектром, когда $A_n(t + \tau) A_n^*(t) = \bar{I}_n \exp\left(\frac{-\Delta\omega_n |\tau|}{\pi}\right)$ ($\Delta\omega_n$ — полуширина спектра накачки), средняя интенсивность сигнала имеет вид

$$\bar{I}_c = \bar{I}_{c0} \exp\left[\left(1 - \frac{1 - e^{-y}}{y}\right) \Gamma_2 z - 2\delta z\right]. \quad (\text{II.9})$$

Здесь $y = z/L_{\text{кор}}$, где $L_{\text{кор}} = \frac{\tau_n}{|\nu|}$, а $\Gamma_2 = \frac{2\beta^2 \bar{I}_n}{|\nu| \Delta\omega_n}$. Значениям $y \ll 1$ соответствует квазистатистический режим усиления; нетрудно убедиться, что (II.9) переходит при этом в (II.5). При $y \gg 1$ ($z \gg L_{\text{кор}}$ — некогерентное взаимодействие)

$$\bar{I}_c = \bar{I}_{c0} \exp(\Gamma_2 z - 2\delta z). \quad (\text{II.10})$$

Таким образом, при $z \gg L_{\text{кор}}$ инкремент, вообще говоря, меньше инкремента в поле гармонической накачки той же средней интенсивности. Чтобы придать формуле (II.10) более наглядный вид, представим

$$\Gamma_2 = \Gamma_0 \left(\frac{I_n}{I_{\text{кр}}}\right)^{1/2} = \Gamma_0 \left(\frac{S}{S_{\text{кр}}}\right)^{1/2}. \quad (\text{II.11})$$

В (II.11) $I_{\text{кр}} = \left[\frac{|\nu| \Delta\omega_n}{\beta}\right]^2$, $S = \frac{I_n}{\Delta\omega_n}$ — спектральная плотность накачки,

$$S_{\text{кр}} = \frac{|\nu|^2}{\beta^2} \Delta\omega_n. \quad (\text{II.12})$$

При наличии группового запаздывания, таким образом, инкремент в поле шумовой накачки меньше инкремента при гармонической накачке, пока $S < S_{\text{кр}}$ ($I_n < I_{\text{кр}}$). Инкременты при шумовой и гармонической накачках сравниваются при $S = S_{\text{кр}}$ (см. (II.12)); некогерентное взаимо-

действие переходит в когерентное. Пользуясь (II.8), можно проанализировать поведение спектра усиливаемого сигнала при произвольных соотношениях между z и $L_{\text{ког}}$. Результаты расчета представлены на графике рис. 4. При $z \ll L_{\text{ког}}$ спектр сигнала расширяется в соответствии с (II.7), проходит через максимум ($z \sim L_{\text{ког}}$), а при $z \rightarrow \infty$ $\Delta\omega_c \rightarrow \Delta\omega_\infty = \frac{2\beta^2}{|\nu|^2} S$. Из последней формулы видно, что $\Delta\omega_\infty < \Delta\omega_n$ при $S < S_{\text{кр}}$ и $\Delta\omega_\infty \approx \Delta\omega_n$ при $S = S_{\text{кр}}$.

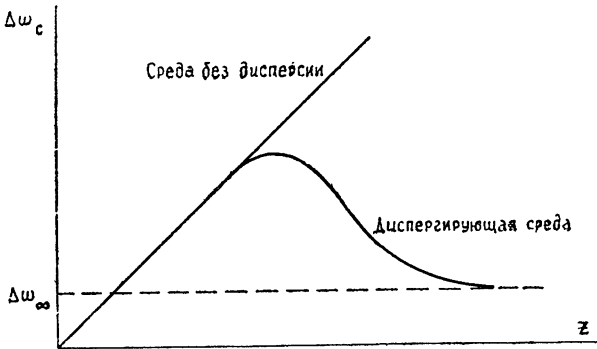


Рис. 4. Зависимость ширины спектральной линии сигнала $\Delta\omega_c$ на выходе вырожденного оптического параметрического усилителя, возбуждаемого шумовой накачкой от расстояния, пройденного в нелинейной среде; прямая соответствует квазистатическому усилению $\Delta\omega_c \sim z$.

3. Шумовая накачка — уравнения для средних

В общем случае, когда групповые скорости всех волн различны, точные решения динамических уравнений (II.1), (II.2) получить не удастся. Поэтому приводимые ниже данные основываются на ином — стохастическом подходе, при котором сразу ищутся уравнения для средних корреляционных функций и т. п.

Один из вариантов стохастического подхода к уравнениям ВКР (так называемое фоккер-планковское приближение) основан на том обстоятельстве, что при $z > L_{\text{ког}}$ флуктуации заданной шумовой накачки можно считать δ -коррелированными. При $z > L_{\text{ког}}$ время корреляции накачки, очевидно, гораздо меньше времен корреляции волн на частотах $\omega_{1,2}$; происходит «сглаживание» усиливаемых волн при их смещении относительно волны накачки. Фазовые корреляции между взаимодействующими волнами в значительной степени утрачиваются — взаимодействие становится некогерентным.

Другой вариант стохастического подхода к анализу системы (II.1), (II.2) связан с использованием метода уравнений Дайсона [28]. Здесь уравнения для средних удается получить при произвольной корреляции накачки; в результате оказывается возможным предельный переход как к δ -коррелированной, так и к гармонической накачке.

Фоккер-планковское приближение. В соответствии с вышесказанным положим в (II.1), (II.2)

$$\begin{aligned} \overline{A_n(\theta)} &= 0, \\ \overline{A_n(\theta) A_n(\theta')} &= 0, \\ \overline{A_n(\theta) A_n^*(\theta')} &= S(\theta) \delta(\theta - \theta'). \end{aligned} \quad (\text{II.13})$$

Будем для определенности рассматривать попутные волны и сделаем замену переменных $\theta_1 = t - \frac{z}{u_1}$, $\zeta = z$.

Тогда уравнение для A_1 можно записать в виде (потери для простоты опускаем)

$$\frac{\partial A_1}{\partial \zeta} = \beta_1 A_n A_2^* e^{-i\Delta\zeta}, \quad (\text{II.14})$$

откуда

$$\begin{aligned} A_1 &= A_{10}(\theta_1) + \int_0^\zeta e^{-i\Delta z'} A_n(\theta + z\nu_{n1} - z'\nu_{n1}) A_2^* dz' = \\ &= A_1' + \int_{\zeta-\varepsilon}^\zeta e^{-i\Delta z'} A_n(\theta + z\nu_{n1} - z'\nu_{n1}) A_2^* dz'. \end{aligned}$$

Здесь через A_1' обозначена часть A_1 , не зависящая в явном виде от амплитуды накачки; ε — положительное число. Считая ε малым и пренебрегая изменением амплитуды A_2 в области $\zeta - \varepsilon \leq z' \leq \zeta$, перепишем последнее соотношение как

$$A_1 = A_1' + \beta_1 A_2^* e^{-i\Delta z} \int_{\zeta-\varepsilon}^\zeta A_n(\theta + z\nu_{n1} - z'\nu_{n1}) dz'.$$

Последнюю формулу можно представить в виде

$$A_i = A_i' + \tilde{A}_i, \quad (\text{II.15})$$

$$\tilde{A}_{1,2} = \beta_{1,2} A_{2,1}^* e^{-i\Delta z} \int_0^\varepsilon A_n(\theta + \nu_{n,1,2} z') dz'.$$

Пользуясь (II.15), смешанные моменты амплитуды $A_{1,2}$ и A_n можно выразить только через моменты A_1 и A_2 :

$$\overline{A_{1,2} A_n^*} \approx \overline{A_n^* \tilde{A}_{1,2}} = \beta_{1,2} e^{-i\Delta z} \overline{A_{2,1}^* S(\theta)} \int_0^\varepsilon \delta(\nu_{n,1,2} z') dz'.$$

Учитывая четность δ -функции, окончательно имеем:

$$\overline{A_{1,2} A_n^*} = \frac{\beta_{1,2} S(\theta)}{2|\nu_{n,1,2}|} \overline{A_{2,1}^*} e^{-i\Delta z}.$$

В результате получаем уравнения для средних амплитуд:

$$\left(e_1 \frac{\partial}{\partial z} + \frac{1}{u_1} \frac{\partial}{\partial t} \right) \overline{A}_1 = \frac{\beta_1 \beta_2^* S}{2|\nu_{n2}|} \overline{A}_1; \quad (\text{II.16a})$$

$$\left(e_2 \frac{\partial}{\partial z} + \frac{1}{u_2} \frac{\partial}{\partial t} \right) \overline{A}_2 = \frac{\beta_2 \beta_1^* S}{2|\nu_{n1}|} \overline{A}_2. \quad (\text{II.16b})$$

Чтобы найти уравнения для средних интенсивностей, надо вычислить тройные корреляции:

$$\begin{aligned} \overline{A_n^* A_1 A_2} &= \overline{A_n^* (A_1' + \tilde{A}_1) (A_2' + \tilde{A}_2)} = \\ &= \overline{A_n^* A_1' A_2'} + \overline{A_n^* \tilde{A}_1 A_2'} + \overline{A_n^* A_1' \tilde{A}_2} + \overline{A_n^* \tilde{A}_1 \tilde{A}_2} = \\ &= \overline{A_n^* \tilde{A}_1 A_2'} + \overline{A_n^* A_1' \tilde{A}_2} = \frac{\beta_1 S e^{-i\Delta z}}{2|\gamma_{n1}|} \overline{A_2 A_2'} + \\ &\quad + \frac{\beta_2 S e^{-i\Delta z}}{2|\gamma_{n2}|} \overline{A_1 A_1'}. \end{aligned}$$

Пользуясь последним результатом, приходим к уравнениям

$$e_1 \frac{\partial \bar{I}_1}{\partial z} + \frac{1}{u_1} \frac{\partial \bar{I}_1}{\partial t} = \frac{S}{|\gamma_{n2}|} \operatorname{Re}(\beta_1 \beta_2^*) \bar{I}_1 + \frac{S}{|\gamma_{n1}|} |\beta_1|^2 \bar{I}_2; \quad (\text{II.17a})$$

$$e_2 \frac{\partial \bar{I}_2}{\partial z} + \frac{1}{u_2} \frac{\partial \bar{I}_2}{\partial t} = \frac{S}{|\gamma_{n1}|} \operatorname{Re}(\beta_1 \beta_2^*) \bar{I}_2 + \frac{S}{|\gamma_{n2}|} |\beta_2|^2 \bar{I}_1. \quad (\text{II.17б})$$

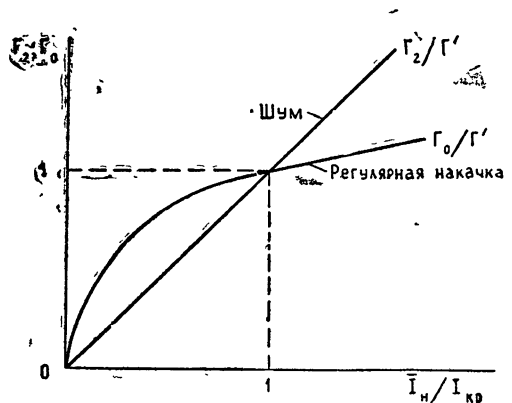
Уравнения (II.16), (II.17) легко решаются для стационарной накачки ($\frac{\partial}{\partial t} = 0$). Для инкремента Γ_2 получаем:

$$\Gamma_2 = \beta_1 \beta_2 S \left[\frac{1}{|\gamma_{n1}|} + \frac{1}{|\gamma_{n2}|} \right]. \quad (\text{II.18})$$

Нетрудно убедиться, что Γ_2 имеет тот же вид, что и инкремент, найденный в (II.9). Таким образом, к (II.18) относятся все сделанные там выводы. Точно так же, как и в (II.9), решающую роль играет соотношение между S и $S_{\text{кр}}$, определяемым формулой вида (II.12). При $S < S_{\text{кр}}$ шумовая накачка менее эффективна, чем гармоническая; при $S = S_{\text{кр}}$ значения инкрементов сравниваются (см. графики рис. 5). Вместе с тем, следует подчеркнуть, что результаты, изложенные в этом пункте, справедливы лишь при $\Delta\omega_{1,2} < \Delta\omega_n$.

Рис. 5. Зависимость нормированного инкремента параметрического усиления от интенсивности накачки (она нормирована на $I_{\text{кр}}$) для гармонической накачки (Γ_0/Γ') и шумовой накачки (Γ_2/Γ'). Инкременты нормированы на

$$\Gamma' = 4\Delta\omega_n \left[\frac{1}{|\gamma_{n1}|} + \frac{1}{|\gamma_{n2}|} \right]^{-1}.$$



Накачка с диффундирующей фазой. Результаты, полученные в предыдущем пункте для гауссовой накачки, не позволяют проследить зависимость инкремента от ширины спектра накачки.

В общем случае это удается сделать, пользуясь методом уравнений Дайсона (см. ниже). Имеется, однако, частный случай, для которого эту зависимость можно проследить, пользуясь фоккер-планковским

приближением. Речь идет о накачке, амплитуда которой постоянна, $|A_H| = \text{const}$, а фаза совершает случайные блуждания типа винеровского процесса:

$$\varphi(t) = \int_{-\infty}^t \xi(t') dt', \quad (\text{II.19})$$

$$\overline{\xi(t_1) \xi(t_2)} = D \delta(t_1 - t_2).$$

Накачка вида $A_H(t) = \sqrt{I_H} e^{i\varphi(t)}$ имеет спектр шириной $\Delta\omega_H = \frac{\pi}{2} D$,

т. е. ширина спектра накачки определяется не интервалом корреляции, а интенсивностью флуктуаций частоты. Пользуясь вышеизложенным подходом, можно получить уравнение для средней интенсивности сигнала; график соответствующего инкремента как функции полосы накачки представлен на рис. 6 (использованы результаты Дьякова и Павлова [29]). Заметим, что совсем недавно аналогичные результаты были опубликованы в [30], где задача о шумовой накачке в параметрических взаимодействиях анализировалась применительно к распадным неустойчивостям в плазме.

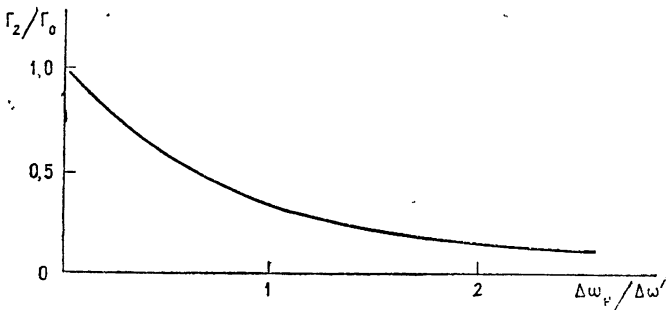


Рис. 6. Зависимость инкремента вырожденного параметрического усиления от ширины спектра накачки с диффундирующей фазой:

$$\Gamma_2/\Gamma_0 = \sqrt{1 + (\Delta\omega_H/\Delta\omega'_H)^2} - \Delta\omega_H/\Delta\omega'_H,$$

$$\Delta\omega'_H = 2\beta \sqrt{I_H} / |\gamma_{H1}|.$$

Метод уравнений Дайсона. Эффективность применения метода уравнений Дайсона в задачах статистической нелинейной оптики была продемонстрирована в серии недавних работ Дьякова [28]. Найдем, в качестве примера, уравнение для средней амплитуды \hat{A}_1 . Перепишем уравнения (II.1), (II.2) в виде (вместо \hat{A}_2 используется комплексно-сопряженная величина)

$$\hat{L}_1 A_1 = \beta_1 A_H(\theta) A_2 e^{i\Delta z}, \quad \hat{L}_2 A_2 = \beta_2 A_H^*(\theta) A_1 e^{-i\Delta z}. \quad (\text{II.20})$$

Будем рассматривать их с краевыми условиями

$$A_1(t, 0) = A_{10}(t), \quad A_2(t, 0) = 0. \quad (\text{II.21})$$

Накачку теперь (ср. (II.13)) будем считать гауссовым процессом с произвольной формой спектра:

$$\overline{A_n^*(t)A_n(t+\tau)} = K(\tau), \quad G(\omega) = \frac{1}{\pi} \int_{-\infty}^{+\infty} K(\tau) e^{-i\omega\tau} d\tau. \quad (\text{II.22})$$

Имея в виду (II.21), можно представить

$$A_1 = \bar{A}_1 + \tilde{A}_1, \quad A_2 = \tilde{A}_2,$$

где, в свою очередь, флуктуационные члены \tilde{A}_i могут быть представлены в виде рядов теории возмущений (причем A_1 является четной функцией амплитуды накачки, а A_2 — нечетной):

$$\tilde{A}_1 = \tilde{A}_1^{(2)} + \tilde{A}_1^{(4)} + \dots, \quad \tilde{A}_2 = \tilde{A}_2^{(1)} + \tilde{A}_2^{(3)} + \dots$$

В первом приближении (соответствующем так называемому приближению Бурре в теории рассеяния)

$$\hat{L}_1 \bar{A}_1 = \beta_1 \overline{e^{i\Delta z} A_n(\theta) \tilde{A}_2^{(1)}}; \quad (\text{II.23})$$

$$L_2 \tilde{A}_2^{(1)} = \beta_2 e^{-i\Delta z} A_n^* \bar{A}_1. \quad (\text{II.24})$$

Согласно (II.24), (II.21)

$$\tilde{A}_2^{(1)} = \beta_2 \int_0^z \exp(-i\Delta z') A_n^*(\theta - z' \nu_{n2}) \bar{A}_1(\theta_2, z') dz', \quad (\text{II.25})$$

и подставляя (II.25) в (II.23), получим уравнение для средней амплитуды:

$$\hat{L}_1 \bar{A}_1 = \beta_1 \beta_2 \int_0^z \exp(i\Delta z') K(\nu_{n2} z') \bar{A}_1 \left(t - \frac{z'}{u}; z - z' \right) dz'. \quad (\text{II.26})$$

Это и есть уравнение для средней амплитуды, записанное в приближении Бурре. Нетрудно видеть, что при $K(\tau) = S\delta(\tau)$ (II.26) переходит в (II.16 а).

Конкретные результаты, основанные на приближении Бурре, мы приведем в гл. IV применительно к ВКР. Оказывается, что удастся получить результаты, переходящие как в результаты фоккер-планковского приближения, так и в результаты для монохроматической накачки. Вместе с тем, имеется регулярный путь построения высших приближений.

III. ВЫНУЖДЕННОЕ КОМБИНАЦИОННОЕ РАССЕЯНИЕ В ПОЛЕ ШУМОВОЙ НАКАЧКИ

В приближении заданного поля (мы пренебрегаем также и движением населенностей) ВКР описывается двумя уравнениями для недиагонального элемента матрицы плотности Q и комплексной амплитуды стоксовой волны A_c :

$$e \frac{\partial A_c}{\partial z} + \frac{1}{u_c} \frac{\partial A_c}{\partial t} + \delta_c A_c = \beta_1 A_n(\theta) Q^*; \quad (\text{III.1})$$

$$\frac{\partial Q}{\partial t} + \frac{Q}{T_2} = \beta_2 A_n(\theta) A_c^* + N(\theta, z). \quad (\text{III.2})$$

Здесь u_c — групповая скорость и δ_c — затухание стоксовой волны, $\beta_{1,2}$ — коэффициенты связи, $\theta = t - z/u_n$ — текущее время, связанное с накачкой, T_2 — поперечное время релаксации. В уравнении (III.1) $e = +1$, если волны Стокса и накачки попутные, и $e = -1$, если они распространяются навстречу друг другу. В уравнении (III.2) $N(\theta, z)$ — случайная сила, описывающая собственные шумы среды.

Таким образом, новым физическим моментом, отличающим ВКР от рассмотренного в гл. II трехфотонного параметрического взаимодействия, является конечное время T_2 релаксации нелинейности. Вместе с тем, следует отметить, что формально переход от системы (II.1),

$$(II.2) \text{ к } (III.1), (III.2) \text{ можно совершить, полагая в } (II.2) \delta_2 A_2 \gg \frac{\partial A_2}{\partial z}$$

и отбрасывая пространственную производную. Тогда, обозначая $T_2 = (\delta_2 u_2)^{-1}$, $A_2 = Q$, приходим к системе уравнений ВКР.

Ниже, пользуясь методами, изложенными в гл. II, мы дадим анализ основных режимов ВКР с шумовой накачкой. Их классификация (ср. гл. I, II) основываются на сравнении времени корреляции накачки τ_n с временами T_2 и T_3 .

Для попутных волн $T_3 = l \left(\frac{1}{u_n} - \frac{1}{u_c} \right)$, а для встречных волн $T_3 = l \left(\frac{1}{u_n} + \frac{1}{u_c} \right) \approx \frac{2l}{c} n$. Можно выделить четыре характерных режима; все они представляют практический интерес.

1) $\tau_n > T_2, T_3$ — квазистатический режим. Молекулярные колебания «отслеживают» флуктуации накачки; дисперсия среды не проявляется.

2) $\tau_n > T_2; \tau_n < T_3$. ВКР в диспергирующей среде с широкими рамановскими линиями. Такая ситуация реализуется, например, в опытах при исследовании ВКР в некоторых жидкостях.

3) $\tau_n < T_2; \tau_n > T_3$. Нестационарное ВКР в недиспергирующей среде. Весьма типичный случай такого рассеяния — рассеяние «вперед» в газах. В конденсированных средах этот режим реализуется обычно, когда рассеяние наблюдается в фокусированных пучках ($l \sim L_\phi$, L_ϕ — длина фокальной области линзы).

4) $\tau_n < T_2; \tau_n < T_3$. Одновременно проявляются инерция молекулярных колебаний и дисперсия среды. Режим, представляющий наибольший интерес при исследовании ВКР в больших объемах. Обратимся к рассмотрению перечисленных случаев (сводка основных результатов теории содержится далее в табл. 2).

1. Квазистатический режим ВКР в поле шумовой накачки

В условиях, когда накачку можно считать медленной (в масштабах времени T_2, T_3) функцией, для мгновенной интенсивности стоксовой волны из (III.1), (III.2) имеем

$$I_c(z) = I_{c0} \exp(g I_n z), \quad g = 2T_2 \beta_1 \beta_2. \quad (III.3)$$

Для гауссовой накачки $w(I_n) = \frac{1}{\bar{I}_n} \exp(-I_n/\bar{I}_n)$ средняя интенсивность стоксовой волны

$$\bar{I}_c = \int_0^\infty I_c w(I_n) dI_n = \frac{I_{c0}}{1 - g z \bar{I}_n}. \quad (III.4)$$

Из (III.4) видно, что в квазистатическом режиме рамановское усиление в поле шумовой накачки может существенно превышать усиление в поле гармонической накачки той же мощности. Более того, из (III.4) следует, что $I_c \rightarrow \infty$ при $gzI_n \rightarrow 1$. Последнее означает, что при $gzI_n \rightarrow 1$ приближение заданного поля становится неприменимым; выбросы гауссовой накачки приводят к расходимости моментов стоксовой интенсивности. Для устранения расходимостей надо учесть обратную реакцию стоксовой волны на накачку; к уравнениям (III.1), (III.2) добавляется уравнение для накачки

$$\hat{L}_3 A_n = -\beta_3 A_c Q \quad (\text{III.5})$$

(теперь $A_n = A_n(t, z)$). Решения уравнений (III.1) — (III.5) хорошо известны; усредняя их (см. [15]), можно получить картину ВКР в незаданном поле медленной шумовой накачки. На рис. 7 представлены графики, характеризующие (в логарифмическом масштабе) рост средней интенсивности стоксовой компоненты с расстоянием для шумовой накачки и гармонической накачки той же мощности. Видно, что для шумовой накачки рост происходит значительно быстрее; причиной является сильная чувствительность экспоненциально нарастающего процесса к выбросам гауссовой накачки*. Разумеется, для наблюдения средних время наблюдения $T_{\text{набл}}$ должно быть $T_{\text{набл}} \gg \tau_n$. Пользуясь (III.1) — (III.5), нетрудно рассчитать и ширину спектра стоксовой волны и фононов.

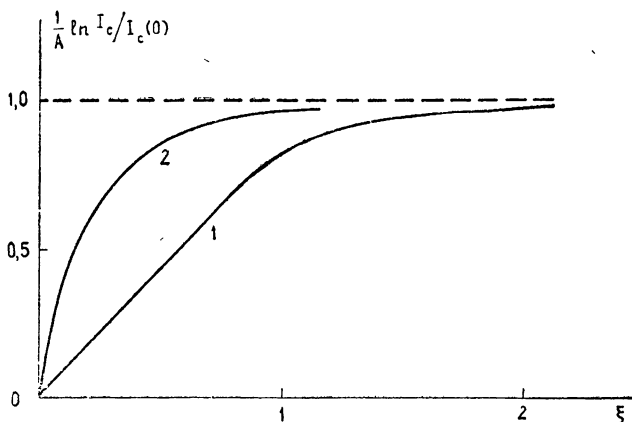


Рис. 7. Средняя стоксова интенсивность в функции нормированного коэффициента усиления $gzI_n z / G_0$ для: гармонической накачки — 1; шумовой накачки — 2; $\tau_n > T_2, T_3$.

Пользуясь (III.3), нетрудно показать, что если на вход рамановского усилителя с шумовой накачкой подан гармонический сигнал, при $z > 0$

$$\Delta \omega_c \sim \Gamma_0 z, \quad \Delta \omega_Q \sim \Gamma_0 z. \quad (\text{III.6})$$

Линейный рост ширины спектра с расстоянием ограничивает дисперсия, не учтенная в этом пункте.

* Заметим, что в эксперименте превышение скорости роста стоксовой компоненты над таковой, рассчитанной для гармонической накачки, обычно приписывают положительной обратной связи, как видно, возможны и другие объяснения.

2. ВКР в диспергирующей среде с широкими рамановскими линиями

Поскольку в этом случае $\tau_n > T_2$, производной $\frac{\partial Q}{\partial t}$ в уравнении (III.2) можно пренебречь. Интересуясь в первую очередь инкрементом стоксовой волны, положим $N(\theta, z) \equiv 0$ и $A_c(0, t) = A_{c0}(t)$. Тогда из (III.1) для попутных волн имеем

$$A_c(t, z) = A_c(t - z/u_c) \exp \left[-\delta z + \frac{1}{2} g \int_0^z I_n \left(t - \frac{z}{u_c} - z'\nu \right) dz' \right], \quad (\text{III.7})$$

где $I_n = |A_n|^2$. Представляя

$$I_n = \bar{I}_n + \tilde{I}_n, \quad \tilde{\bar{I}}_n = 0, \quad (\text{III.8})$$

непосредственно убеждаемся, что усиление стоксовой компоненты в поле шумовой накачки отличается от усиления в поле гармонической накачки с интенсивностью, равной \bar{I}_n , фактором $\exp[F(t, z)]$, где

$$F(t, z) = \frac{1}{2} g \int_0^z \tilde{I}_n(t - z/u_c - \nu z') dz'. \quad (\text{III.9})$$

В силу (III.9) при $\tau_n \ll T_3 = \nu z$ флуктуации накачки усредняются; поэтому с расширением спектра накачки (в условиях $\tau_n > T_2$) инкремент стремится к статическому—инкременту, определяемому средней интенсивностью накачки $\Gamma_0 = g\bar{I}_n$.

Расчет инкремента при $\tau_n < T_3$ можно выполнить, полагая флуктуации накачки в этом случае δ -коррелированными,

$$\overline{\tilde{I}_n(t)\tilde{I}_n(t+\tau)} = \frac{\bar{I}_n^2}{\Delta\omega_n} \delta(\tau), \quad (\text{III.10})$$

где $\Delta\omega_n$ —ширина спектра накачки, а функцию F —нормальным случайным процессом (нормализация при $\tau_n < T_3$ происходит за счет интегрирования, так что F —гауссов процесс независимо от распределения накачки). Пользуясь указанным обстоятельством, можно определить среднюю интенсивность и корреляционную функцию (а следовательно, и спектр) стоксовой волны.

Если при $z = 0$, $A_c(t) = A_0$, то

$$\bar{I}_c(z) = |A_0|^2 \exp[(\Gamma_2 - 2\delta)z], \quad (\text{III.11a})$$

где инкремент в поле шумовой накачки Γ_2

$$\Gamma_2 = \Gamma_0 \left[1 + \frac{\Gamma_0 L_{\text{кор}}}{2\pi} \right] = \Gamma_0 + \Gamma'. \quad (\text{III.11б})$$

Из (III.11 б) следует, что инкремент в поле шумовой накачки превышает статическое значение Γ_0 , определяемое средней ее интенсивностью, превышение определяется значением усиления на когерентной длине. Поскольку когерентные длины в прямом и обратном направлениях различаются, последнее обстоятельство приводит к асимметрии в индикатрисе рассеяния. Вместе с тем, при $\Delta\omega_n \rightarrow \infty$, $L_{\text{кор}} \rightarrow 0$ и $\Gamma_2 \rightarrow \Gamma_0$ независимо от направления рассеяния.

Для ширины спектра стоксовой компоненты получаем:

$$\Delta\omega_c = \frac{\exp(\Gamma' z) - 1}{\exp(\Gamma' z) - 1 - \Gamma' z} \frac{\Gamma'}{\pi\nu}. \quad (\text{III.12})$$

Из (III.12) следует, что с ростом z спектр стоксовой волны сужается; при $z \rightarrow \infty$ $\frac{\Delta\omega_c}{\Delta\omega_n} \rightarrow \left(\frac{\Gamma_0 L_{\text{кор}}}{2\pi}\right)^2$. Поскольку $Q \approx T_2 \beta_2 A_n^* A_c$, спектр фоновой волны шире спектра рассеянного света.

3. Шумовая накачка в недиспергирующей среде с медленно релаксирующими молекулярными колебаниями

Если групповые скорости накачки и стоксовой волны совпадают, $u_n = u_c$, $T_3 = 0^*$ (а соответствующая «дисперсионная» полоса $\Delta\omega_n \sim \sim T_3^{-1} \rightarrow \infty$), решение уравнений (III.1), (III.2) можно получить методом Римана. Имеем

$$A_c(\theta, z) = \beta_1 A_n(\theta) \int_0^\theta dt \int_0^z d\xi \exp(-t/T_2) I_0 \left[\frac{2\xi}{T_2} \int_{\theta-t}^\theta \Gamma_0(y) dy \right]^{1/2} N(\theta-t, z-\xi), \quad (\text{III.13})$$

где $\Gamma_0(y) = gI_n(y)$, а I_0 — модифицированная функция Бесселя. Вводя естественное предположение, что $N^*(t', z)N(t, z) = G_0 \delta(t-t')\delta(z-z')$, получаем из (III.13)

$$\bar{I}_c(\theta, z) = G_0 \beta_1 \bar{I}_n \int_0^\theta dt \exp(-t/T_2) \int_0^z I_0^2 \left[\frac{2\xi}{T_2} \int_{\theta-t}^\theta \Gamma_0(y) dy \right]^{1/2} d\xi. \quad (\text{III.13a})$$

Инкремент в поле шумовой накачки определяется очевидно аргументом функции Бесселя в (III.13). Записывая интенсивность накачки в форме (III.8), убеждаемся, что влияние флуктуаций накачки описывается интегралом вида

$$Y(t, \eta) = \frac{1}{\eta \bar{I}_n} \int_0^\eta \tilde{I}_n(t-t') dt'. \quad (\text{III.14})$$

Максимальное значение интервала интегрирования в (III.14) равно T_2 . В рассматриваемом случае $\tau_n < T_2$ величина Y вследствие усреднения при интегрировании мала и

$$\bar{I}_c = I_c(0) \exp(g\bar{I}_n z) \equiv I_c(0) \exp(\Gamma_0 z).$$

Таким образом, широкополосная шумовая накачка оказывается столь же эффективной, как и гармоническая накачка с интенсивностью, равной \bar{I}_n .

Спектр стоксовой волны, согласно (III.13), имеет ту же ширину, что и спектр накачки. Действительно, при $\tau_n < T_2$ A_c можно представить в виде $A_c(t) = A_n(t) \Phi(t)$, где $\Phi(t)$ — медленно (по сравнению с $A_n(t)$) меняющаяся функция. Поэтому с хорошей степенью точности

* Если пользоваться отмеченной в начале этой главы аналогией между ВКР и трехчастотным параметрическим взаимодействием, рассматриваемый случай следует считать аналогом режима $u_1 = u_n$ или $u_2 = u_n$ в параметрическом взаимодействии (см. гл. II, разд. 2).

$$\Delta\omega_c \approx \Delta\omega_n. \quad (III.15)$$

Вместе с тем, ширина спектра фононной волны значительно уже. Поскольку

$$\frac{dQ}{dt} \sim \beta_2 [\bar{I}_n + \tilde{I}_n] \Phi(t), \quad \Delta\omega_Q \approx \Delta\omega_0 (g\bar{I}_n z)^{-1/2},$$

где $\Delta\omega_0 = \frac{1}{\pi T_2}$ — ширина спонганной линии.

4. Шумовая накачка в условиях одновременного проявления молекулярной релаксации и дисперсии среды. Некогерентное рассеяние

Характеристики некогерентного рассеяния (фоккер-планковское приближение). Будем считать сначала (ср. разд. II.2) A_n δ -коррелированным гауссовым шумом:

$$\begin{aligned} \overline{A_n(\theta)} &= 0, \quad \overline{A_n(\theta_1) A_n(\theta_2)} = 0, \quad \theta = t - z/u_n, \\ \overline{A_n(\theta_1) A_n^*(\theta_2)} &= S(\theta) \delta(\theta_1 - \theta_2), \quad S(\theta) = \frac{I_n}{\Delta\omega_n}. \end{aligned} \quad (III.16)$$

Предполагая, что для времен корреляции A_c и Q выполнено $\tau_c, \tau_Q \gg \tau_n$, пользуясь (III.2), можно записать (ср. разд. II.2)

$$Q = Q_0 \exp(-t/T_2) + \beta_1 A_c^* \int_0^t A_n dt'. \quad (III.17)$$

Используя (III.17), смешанные моменты амплитуд A_c, Q и A_n можно выразить только через моменты A_c и Q . В результате можно получить уравнения для средних интенсивностей стоксовой волны $\bar{I}_c = \overline{A_c A_c^*}$ и молекулярных колебаний $\bar{W} = \overline{Q Q^*}$ (ср. гл. II),

$$\frac{\partial \bar{I}_c}{\partial z} + \frac{1}{u_c} \frac{\partial \bar{I}_c}{\partial t} = \frac{gS(\theta)}{2T_2} \bar{I}_c + \frac{g\omega_c S(\theta)}{\omega_Q T_2 \nu} \bar{W}; \quad (III.18)$$

$$\frac{\partial \bar{W}}{\partial t} + \left[\frac{2}{T_2} - \frac{gS(\theta)}{2T_2 \nu} \right] \bar{W} = \frac{\omega_Q gS(\theta)}{4\omega_c T_2} \bar{I}_c. \quad (III.19)$$

В стационарном случае из (III.18), (III.19) следует, что

$$\bar{I}_c = I_{c0} \exp(\Gamma_2 z), \quad \bar{W} = \frac{\omega_Q gS}{8\omega_c (1 - S/S_{кр})} \bar{I}_c(z), \quad (III.20)$$

где

$$\Gamma_2 = g\bar{I}_n \frac{\Delta\omega_0}{\Delta\omega_n} \frac{\pi/2}{1 - S/S_{кр}}, \quad \text{а } S_{кр} = 4\nu/g. \quad (III.21)$$

Инкремент в поле шумовой накачки является, таким образом, нелинейной функцией ее интенсивности. Ключевым параметром оказывается при этом критическое значение спектральной плотности накачки, определяемое формулой (III.21). При $S \ll S_{кр}$ $\Gamma_2 = \Gamma_0 \frac{\Delta\omega_0}{\Delta\omega_n}$; при $S \approx S_{кр}$ инкремент резко возрастает.

Скачок инкремента при $S = S_{\text{кр}}$ связан с соответствующим уменьшением затухания оптических фононов.

Согласно (III.19), в поле шумовой накачки эффективное время поперечной релаксации увеличивается:

$$T_{2, \text{эфф}} = \frac{T_2}{1 - S/S_{\text{кр}}}. \quad (\text{III.22})$$

В соответствии с (III.22) для ширины спектра оптических фононов получаем

$$\Delta\omega_Q = \Delta\omega_0 (1 - S/S_{\text{кр}}),$$

т. е. при $S \rightarrow S_{\text{кр}}$ $\Delta\omega_Q \ll \Delta\omega_0$. Ширина спектра стоксовой компоненты

$$\Delta\omega_c = \frac{(e^x - 1)x}{e^x - 1 - x} \frac{1}{\pi\nu}, \quad (\text{III.23})$$

где $x = 2\pi\Delta\omega_0 z |\nu| (S/S_{\text{кр}})^2 [1 - S/S_{\text{кр}}]^{-1}$. Из (III.23) следует, что при $S \rightarrow S_{\text{кр}}$ спектр стоксовой компоненты быстро расширяется. Теория, развитая в этом разделе, справедлива, пока $\Delta\omega_c < \Delta\omega_n$, т. е. пока $[1 - S/S_{\text{кр}}]^{-1} < \frac{\Delta\omega_n}{\Delta\omega_0}$. Явления при $S > S_{\text{кр}}$ (здесь некогерентное рассеяние переходит в когерентное) в рамках фоккер-планковского приближения рассмотреть не удастся; однако это можно сделать, пользуясь методом уравнений Дайсона.

Когерентное и некогерентное ВКР — метод уравнений Дайсона. Будем теперь считать, что волна накачки является гауссовым случайным процессом, но уже с произвольной корреляционной функцией $K(\tau) = A_n^*(t) A_n(t + \tau)$ и спектром

$$G(\omega) = \frac{1}{\pi} \int_{-\infty}^{+\infty} K(\tau) e^{-i\omega\tau} d\tau.$$

Представим амплитуды A_c и Q в виде рядов

$$A_c = \sum_{n=0}^{\infty} A_c^{(2n)}, \quad Q = \sum_{n=0}^{\infty} Q^{(2n+1)}, \quad (\text{III.24})$$

$$A^{(m)}, Q^{(m)} \sim \overline{A_n(t_1, z_1) A_n(t_2, z_2) \dots A_n(t_m, z_m)}.$$

В (III.24) сохранены лишь члены определенной четности относительно A_n ; из структуры уравнений (III.1), (III.2) при $N \equiv 0$ и граничном условии $A_c(t, 0) = A_{c0}$ следует, что A_c является четной, а Q — нечетной функцией A_n .

Приближенное представление для амплитуд в виде нескольких первых членов рядов (III.24) в случае ВКР неэффективно; таким путем нельзя хорошо аппроксимировать даже стационарное решение $A_c(z) = A_{c0} \exp(gI_n z)$, в котором обычно $gI_n z = 10 \div 25$.

Другой способ оценки амплитуд состоит в том, чтобы выделить в рядах (III.24) некоторые бесконечные подпоследовательности, суммируемые точно. Такой подход аналогичен методу, используемому, например, в теории многократного рассеяния, и связан с получением так называемых уравнений Дайсона для средних амплитуд или уравнений Бете—

Солпитера для корреляционных функций. Метод уравнений Дайсона может быть, в принципе, развит как применительно к линейным уравнениям типа (III.1), (III.2) [28], так и для нелинейных уравнений, учитывающих насыщение [28, 36]. Представление в виде конечного ряда по A_n используется при этом не непосредственно для определения, например, \bar{A}_c или $\bar{I}_c = A_c A_c^*$, а для приближенного вычисления коэффициентов тех уравнений, которым эти средние удовлетворяют. В первом приближении (приближении Бурре) в коэффициенты уравнений для средних входят лишь величины второго порядка по A_n , т. е. некоторые линейные функционалы относительно корреляционной функции $K(\tau)$.

Уравнение для средней амплитуды стоковой волны в среде без потерь в этом приближении имеет вид

$$\frac{\partial \bar{A}_c}{\partial z} = \bar{A}_c \frac{g}{2} \int_{-\infty}^{+\infty} \frac{G(\omega) d\omega}{1 + \omega^2 T_2^2} \quad (\text{III.25})$$

и описывает как когерентный ($\tau_n > T_2, T_3$), так и некогерентный ($\tau_n < T_2, T_3$) режимы ВКР, если

$$\frac{\Gamma_0}{2(1 + \Delta\omega_n/\Delta\omega_0)} \frac{1 - \exp(-2\pi\Delta\omega_n \nu z)}{2\pi\Delta\omega_n \nu} \ll 1.$$

Выполнение последнего условия необходимо, если A_n — гауссов случайный процесс. Если комплексная амплитуда накачки содержит лишь один случайный параметр — диффундирующую фазу,

$$A_n(t) \sim \exp\left(i \int_{-\infty}^t \xi(t') dt'\right), \quad \overline{\xi(t) \xi(t + \tau)} = D \delta(\tau),$$

то можно показать, что уравнение (III.25) является точным.

Оценка инкремента Γ для средней интенсивности $\bar{I}_c(z)$ находится более сложным путем и показывает, что Γ удовлетворяет следующему трансцендентному уравнению:

$$\Gamma = g \left(\frac{1}{T_2} + \frac{\Gamma}{2\nu} \right) \int_0^{\infty} \exp\left[-\left(\frac{1}{T_2} + \frac{\Gamma}{2\nu}\right)\tau\right] K(\tau) d\tau.$$

При лоренцовском спектре накачки это уравнение переходит в квадратное и определяет два значения инкремента:

$$\frac{\Gamma_{1,2}}{\Gamma_0} = \frac{1}{2} \left[1 - (1+d) \frac{S_{\text{кр}}}{S} \right] \pm \left\{ \frac{1}{4} \left[1 - (1+d) \frac{S_{\text{кр}}}{S} \right]^2 + \frac{S_{\text{кр}}}{S} d \right\}^{1/2} \quad (\text{III.26})$$

$$(d = \Delta\omega_0/\Delta\omega_n).$$

График зависимости Γ_1 от относительной спектральной интенсивности накачки представлен на рис. 8. Заметим, что при $\Delta\omega_n \gg \Delta\omega_0$ согласно (III.26)

$$\Gamma_1 = \Gamma_0 - \Gamma_{\text{кр}}, \quad \Gamma_{\text{кр}} = g S_{\text{кр}} \Delta\omega_n.$$

Учет насыщения (учет уравнения (III.5)) приводит к нелинейному уравнению для \bar{A}_c .

Таблица 2

Характеристики вынужденного рассеяния при шумовой накачке

| Режим рассеяния | Инкремент | Ширина спектра Стокса $\Delta\omega_c$ | Ширина спектра фонов $\Delta\omega_Q$ | Примечание |
|---|--|---|---|---|
| Квазистатистический, $\tau_n > T_2, T_3$ | $\Gamma \gg \Gamma_0 = g \bar{T}_n$ | $\Delta\omega_c \sim \Gamma_0 z$ | $\Delta\omega_Q \sim \Gamma_0 z$ | Приближением заданного поля нельзя пользоваться при $T_{набл} \gg \tau_n$ |
| Диспергирующая среда с широкими линиями, $\tau_n > T_2, \tau_n < T_3$ | $\Gamma = \Gamma_0 \left[1 + \frac{\Gamma_0 L_{ког}}{2\pi} \right]$ | При $z \rightarrow \infty$ $\Delta\omega_c = \Delta\omega_n \left(\frac{\Gamma_0 L_{ког}}{2\pi} \right)^2$ | $\Delta\omega_Q > \Delta\omega_c$ | Формулы основаны на усреднении точного решения |
| Недиспергирующая среда с медленно релаксирующими молекулярными колебаниями, $\tau_n < T_2, \tau_n > T_3$ | $\Gamma = \Gamma_0 = g \bar{T}_n$ | $\Delta\omega_c = \Delta\omega_n$ | $\Delta\omega_Q = \frac{\Delta\omega_0}{\sqrt{\Gamma_0 z}} \ll \Delta\omega_c$ | Формулы основаны на усреднении точного решения |
| Общий случай. Некогерентное рассеяние, $\tau_n < T_2, T_3$ | $\Gamma = \Gamma_0 \frac{\Delta\omega_0}{\Delta\omega_n} \frac{\pi/2}{1 - S/S_{кр}}$ для $S < S_{кр}$ | $\Delta\omega_c = \frac{1}{\pi z \nu}$ для $S \ll S_{кр}$ $\Delta\omega_c = \frac{2\Delta\omega_0}{1 - S/S_{кр}}$ для $S \rightarrow S_{кр}$ | $\Delta\omega_Q = \left(1 - \frac{S}{S_{кр}} \right) \Delta\omega_0$ для $S < S_{кр}$ | Формулы приведены для $\Delta\omega_n > \Delta\omega_c$ (фоккер-планковское приближение), см. также рис. 8 |

$$\frac{\partial \bar{A}_c}{\partial z} = \bar{A}_c \frac{g}{2} \int_{-\infty}^{+\infty} \frac{G(\omega)}{1 + \omega^2 T_2^2} \exp \left(-\frac{\omega_H}{\omega_c} \frac{g}{1 + \omega^2 T_2^2} \int_0^z |\bar{A}_c|^2 dz' \right) d\omega,$$

из которого следует, в частности, возможность полной перекачки энергии широкой линии накачки в узкую линию ВКР в сильно диспергирующей среде [36].

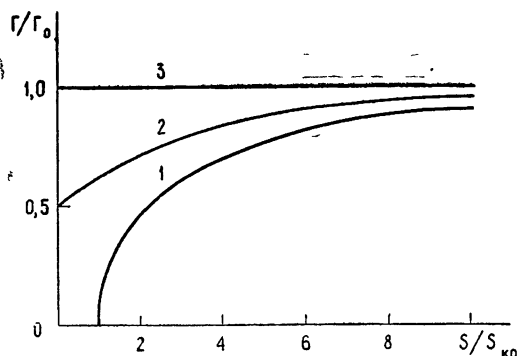


Рис. 8. Зависимость инкремента ВКР, возбуждаемого шумовой накачкой, от приведенной спектральной плотности накачки.

Параметр кривых $d = \Delta\omega_0/\Delta\omega_H$ — отношение ширины спонтанной рамановской линии к ширине спектра накачки; 1 — $d=0$, 2 — $d=1$, 3 — $d = \infty$.

Основные результаты теории ВКР в поле шумовой накачки суммированы в табл. 2.

5. Эксперименты по ВКР в поле шумовой накачки

Эксперименты по ВКР в поле шумовой накачки описаны в [13, 15]. В обеих работах активной средой был жидкий азот. В [13] исследовался режим $L \leq L_{\text{ког}}$; широкополосный источник оптического шума, использованный в [15], позволил реализовать и режим $L > L_{\text{ког}}$. Данные этих экспериментов удовлетворительно согласуются с теорией, развитой в предыдущих разделах. В [15] подтверждена возможность получения весьма эффективного рассеяния при $L \gg L_{\text{ког}}$ и $I_H > I_{\text{кр}}$. Соответствующие экспериментальные данные суммированы в табл. 3; для сравнения

Таблица 3

Энергетические характеристики ВКР в жидком азоте при шумовой и регулярной накачке

| Ширина спектра накачки | КПД преобразования в 1-й стокс, % | $B = W_0^{(+)} / W_c^{(-)}$ |
|--------------------------------------|-----------------------------------|-----------------------------|
| $\Delta\nu_H = 0,03 \text{ см}^{-1}$ | 20 | 1 |
| $\Delta\nu_H = 250 \text{ см}^{-1}$ | 12 | ∞ |

здесь же приведены и данные для монохроматической накачки. Величина B , равная отношению энергий первой стоксовой компоненты «вперед» $W_c^{(+)}$ и «назад» $W_c^{(-)}$, характеризует симметрию индикатрисы рассеяния. Для шумовой накачки, в соответствии с теорией, $B \rightarrow \infty$. На рис. 9 представлены зависимости ширины спектра первой стоксовой компонен-

ты от интенсивности накачки, измеренные при различных соотношениях между длиной нелинейного взаимодействия и $L_{\text{ког}}$. Нетрудно видеть, что данные эксперимента удовлетворительно согласуются с теорией и в этом пункте.

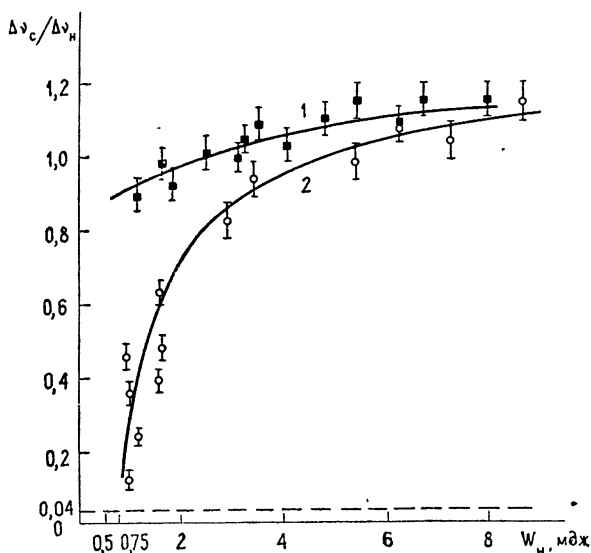


Рис. 9. Относительная ширина спектра первой стохастической компоненты, возбуждаемой шумовой накачкой в функции энергии накачки.

Кривая 1 соответствует случаю $z \approx L_{\text{ког}}$. Кривая 2 — $z > L_{\text{ког}}$. Пунктиром отмечено теоретическое значение минимальной полосы стокса при $z \gg L_{\text{ког}}$.

IV. О ПРЕОБРАЗОВАНИИ ПРОСТРАНСТВЕННОЙ СТАТИСТИКИ ВОЛН В АКТИВНЫХ И НЕЛИНЕЙНЫХ СРЕДАХ

Не имея возможности подробно остановиться на задачах, связанных с поведением пространственно-некогерентных волн в нелинейных средах, я хотел бы ограничиться несколькими примерами задач, где такое преобразование оказывается существенным. Хотя эти вопросы выходят за

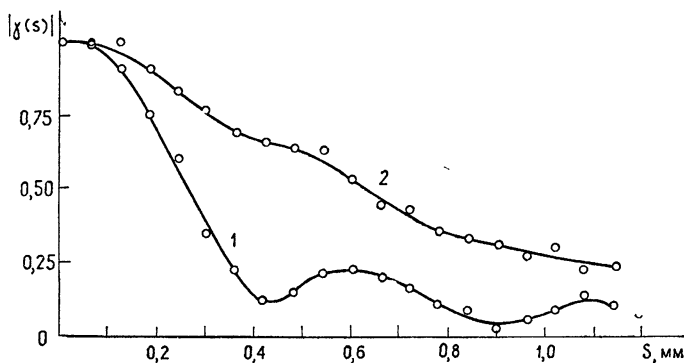


Рис. 10. Пространственные корреляционные функции основного излучения и второй гармоники в двулучепреломляющем кристалле.

рамки моих лекций, даже краткое упоминание их представляется целесообразным, поскольку иногда высказываются утверждения, что нели-

нейные задачи, связанные с пространственной когерентностью, гораздо беднее, нежели задачи, связанные с временной когерентностью. Напомним, прежде всего, что в линейной пассивной среде радиус корреляции R_K первоначально δ -коррелированного излучения, прошедшего через апертуру диаметром a , увеличивается с расстоянием z по закону (теорема Ван-Циттерта — Цернике)

$$R_K(z) \approx \frac{\lambda}{a} z.$$

В нелинейных и активных средах картина усложняется. На рис. 10—12 приведены экспериментальные данные, относящиеся к преобразованию поперечных корреляционных функций.

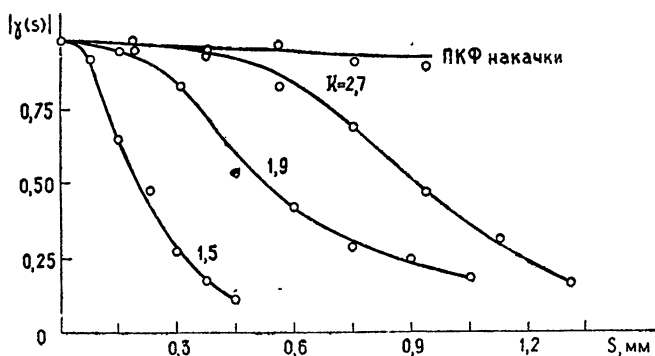


Рис. 11. Поперечные пространственные корреляционные функции поля первой стоксовой компоненты ВКР в жидком азоте для различных превышений над порогом ($K = I_n/I_{пор}$). Здесь же приведена корреляционная функция накачки.

При генерации гармоник в анизотропных средах радиус пространственной корреляции зависит от двулучепреломления среды, мощности основного излучения (см. рис. 10 и [2, 31]). Радиус пространственной кор-

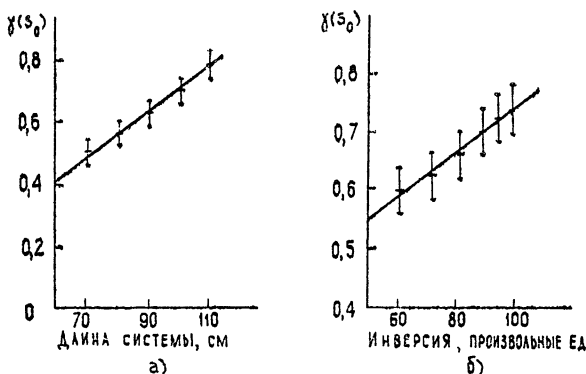


Рис. 12. Графики, характеризующие формирование поперечной статистики суперлюминесцентного лазера (Ne на $\lambda = 6140 \text{ \AA}$).

На рис. 12а показана экспериментальная зависимость значения нормированной корреляционной функции $\gamma(s_0)$ (для $s_0 = 0,05 \text{ см}$) от длины усиливающей среды. На рис. 12б представлена зависимость той же величины от инверсии (усиления) (из работы [18]).

реляции сверхлюминесценции зависит не только от расстояния z , но и от коэффициента нарастания G (см. рис. 11 б, 12 и [16–18]); в области, где формирование пространственной статистики сверхлюминесценции только начинается, $R_k(z) \sim G^{1/2}$. Интересную информацию дает и измерение пространственных корреляционных функций интенсивности. Наконец, большой круг задач связан с преобразованием пространственной статистики при самовоздействиях. Здесь конкуренция самофокусировки и дифракции может приводить к уменьшению поперечного радиуса корреляции в процессе распространения; при этом в первом приближении отношение радиуса корреляции к радиусу пучка сохраняется ([19]).

V. ЗАКЛЮЧЕНИЕ

Резюмируя вышеизложенное, можно констатировать, что основные черты параметрических процессов в поле волн, случайно модулированных во времени (во всяком случае в поле заданной накачки), в настоящее время выяснены.

Использование стохастических методов позволяет для общего случая трехчастотного взаимодействия проанализировать не только предельные случаи когерентного (квазистатистического) и некогерентного режимов, но и проследить переход между ними.

Аналогичные задачи представляют, разумеется, интерес и для волн случайно-модулированных в пространстве.

Теория взаимодействий и самовоздействий пространственно-некогерентных полей — сравнительно молодой раздел статистической теории нелинейных волн.

В последние годы наибольшая активность здесь была связана с задачами нелинейной оптики — исследовались эффекты пространственной когерентности при генерации оптических гармоник (см. [2, 31]), формирование пространственной статистики сверхлюминесценции [16–18], параметрическое усиление и вынужденное рассеяние в поле пространственно-некогерентной накачки [12, 32]. В ряде пунктов задачи, связанные с пространственно-некогерентной накачкой, оказываются прямыми пространственными аналогами задач, рассмотренных в гл. II, III этой статьи; такая ситуация имеет место, в частности, применительно к некоторым режимам параметрического усиления [12].

Однако в общем случае здесь требуется учет дифракционных эффектов [2, 32], т. е. вторых производных в укороченных уравнениях, — важное значение приобретает такой пространственный масштаб, как область продольной корреляции накачки.

Сделаем еще два замечания, несколько выходящих за рамки настоящей статьи.

1. Изложенная в гл. II, III теория была разработана для гауссовой шумовой накачки. Если говорить об оптике, такая модель оказывается вполне удовлетворительной не только для суперлюминесцентных источников, но, как показывает анализ, и для многомодовой лазерной накачки. Применительно к таким процессам, как параметрическое усиление и вынужденное рассеяние, многомодовую накачку можно считать эквивалентной* гауссову шуму, если фазы мод некоррелированы, а усиление, создаваемое отдельной модой, мало (если $\Gamma_{0n} z \ll 1$, где Γ_{0n} — инкремент, создаваемый отдельной модой).

2. В параметрических процессах действие шумовой накачки можно трактовать как возникновение стохастической связи между усиливаемы-

* В смысле создаваемого усиления и спектра сигнала. Для других характеристик (например, более высоких моментов) оценки несколько изменяются.

ми волнами — волнами с, вообще говоря, различающимися частотами. Здесь я хотел бы обратить внимание на другой тип стохастической связи волн, описываемый уравнениями, близкими по форме к (II.1), (II.2).

Речь идет о стохастической связи встречных волн одинаковых частот в статистически неоднородной среде. Такая связь обсуждалась в последние годы применительно к проблеме случайной обратной связи (см. [37–40, 33]). Мы хотим показать здесь, что регулярный метод анализа этих задач приводит к уравнениям типа (II.1), (II.2), для решения которых могут быть использованы стохастические методы, изложенные выше.

Рассмотрим одномерную среду, в которой распространяются волны вида

$$E_{1,2}(t, z) = A_{1,2}(t, z) \exp[i(\omega t \pm kz)].$$

Пусть показатель преломления — случайная функция координаты

$$n^2 = \bar{n}^2 [1 + \tilde{\delta}(z)], \quad \tilde{\delta}(z) = \tilde{\delta}_1(z) + i \tilde{\delta}_2(z); \quad (V.1)$$

$$\tilde{\delta}_{1,2} = \delta_{1,2}(z) \exp(i2kz) + \text{к. с.} \quad (V.2)$$

Тогда, если декремент затухания по интенсивности в рассматриваемой среде равен $-\Gamma$ ($\Gamma > 0$ соответствует усиливающей среде), для случайных комплексных амплитуд $A_{1,2}$ получаем уравнения

$$\frac{\partial A_1}{\partial z} + \frac{1}{u} \frac{\partial A_1}{\partial t} = \frac{1}{2} \Gamma A_1 + \frac{1}{2} [\beta_2^*(z) - i \beta_1^*(z)] A_2; \quad (V.3)$$

$$-\frac{\partial A_2}{\partial z} + \frac{1}{u} \frac{\partial A_2}{\partial t} = \frac{1}{2} \Gamma A_2 + \frac{1}{2} [\beta_2(z) - i \beta_1(z)] A_1, \quad (V.4)$$

где $\beta_{1,2} = k \delta_{1,2}$. К уравнениям (V.3), (V.4) можно применить стохастические методы, описанные выше (см. также [41, 42]). Считая флуктуации показателя преломления δ -коррелированными, можно прийти к приближенным уравнениям для средних интенсивностей встречных волн [33].

Условие самовозбуждения при этом приобретает вид

$$\frac{k}{\Gamma} \frac{\overline{\Delta n^2}}{n^2} = e^{-\Gamma l}.$$

С помощью (V.3), (V.4) можно вычислить и продольные характеристики генерируемых полей.

Заметим, наконец, что теоретические методы и физические представления, изложенные выше, оказываются весьма эффективными при исследовании взаимодействия оптического шума с квантовыми системами [34, 35] (имеются в виду расчет особенностей насыщения в сильном шумовом поле, анализ нелинейной восприимчивости, флуктуаций разности населенностей и т. п. — такой анализ проведен в [36]).

ЛИТЕРАТУРА

1. П. Клеменс, сб Динамика решетки, изд Мир, М, 1968.
2. С. А. Ахманов, А. С. Чиркин, Статистические явления в нелинейной оптике, изд. МГУ, М, 1971.
3. С. А. Ахманов, А. И. Ковригин, Р. В. Хохлов, О. И. Чунаев, ЖЭТФ, 45, 1336 (1963); 49, 829 (1966).
4. J. Ducuing, N. Bloembergen, Phys. Rev., 133, A1493 (1964).
5. A. Smith, N. Braslau, J. Appl. Phys., 34, 2105 (1963).

6. R. Terhune, P. Maker, C. Savage, *Phys. Rev. Lett.*, **14**, 681 (1965).
7. С. А. Ахманов, Д. Н. Клышко, Письма в ЖЭТФ, **2**, 15 (1965).
8. В. И. Беспалов, Изв. высш. уч. зав. — Радиофизика, **9**, № 6, 1117 (1966); **10**, № 1, 74 (1967).
9. С. А. Ахманов, А. С. Чиркин, Радиотехника и электроника, **11**, 1915 (1966).
10. С. А. Ахманов, А. С. Чиркин, сб. Нелинейная оптика, изд. Наука, Новосибирск, 1968.
11. Ю. Е. Дьяков, Письма в ЖЭТФ, **11**, 369 (1970).
12. С. А. Ахманов, Ю. Е. Дьяков, А. С. Чиркин, Письма в ЖЭТФ, **13**, 724 (1971).
13. А. З. Грасюк, И. Г. Зубарев, Н. В. Суязов, Письма в ЖЭТФ, **16**, 237 (1972).
14. Ю. Е. Дьяков, Краткие сообщения по физике, № 7, 49 (1971).
15. С. А. Ахманов, Ю. Е. Дьяков, Л. И. Павлов, ЖЭТФ, **66**, 520 (1974).
16. L. Allen, G. Peters, *J. Phys.*, **A4**, 377 (1971); **A5**, 546 (1972).
17. В. И. Беспалов, Г. А. Пасманик, Докл. АН СССР, **210**, 309 (1973).
18. А. Г. Арутюнян, С. А. Ахманов, Ю. Д. Голяев, В. Г. Тункин, А. С. Чиркин, ЖЭТФ, **64**, 1511 (1973).
19. С. А. Ахманов, Конференция по передаче информации лазерным излучением, Киев, 1973.
20. R. Kraichnan, *Phys. Fluids*, **11**, № 2, 265 (1968).
21. Е. Н. Пелиновский, В. Е. Фридман, Акуст. ж., **18**, № 4, 590 (1972).
22. О. Руденко, А. Чиркин, Докл. АН СССР, **214**, 1045 (1974); Всесоюз. Акуст. конференция (тезисы), М., 1973.
23. P. Sturrock, *Proc. Roy. Soc.*, **242A**, 1230 (1957).
24. В. Н. Цытович, Нелинейные эффекты в плазме, изд. Наука, М., 1967.
25. С. А. Ахманов, Р. В. Хохлов, Проблемы нелинейной оптики, изд. АН СССР, М., 1964.
26. С. А. Ахманов, Р. В. Хохлов, Радиотехника и электроника, **6**, 1813 (1961).
27. С. А. Ахманов, Ю. Е. Дьяков, сб. Нелинейная оптика, Труды 2-й Вавиловской конференции, Новосибирск, 1972.
28. Ю. Е. Дьяков, Краткие сообщения по физике, № 4 (1973); № 5 (1973).
29. Ю. Е. Дьяков, Л. И. Павлов, сб. Нелинейная оптика, Труды 2-й Вавиловской конференции, Новосибирск, 1972.
30. E. Valeo, S. Oberman, *Phys. Rev. Lett.*, **30**, 1035 (1973).
31. S. Akhmanov, A. Chirkin, V. Tunkin, *Opto-Electronics*, **2**, № 1 (1970).
32. Г. А. Пасманик, Докл. АН СССР, **210**, 1050 (1973).
33. С. А. Ахманов, Г. А. Ляхов, ЖЭТФ, **66**, 96 (1974).
34. А. Бонч-Бруевич, В. Ходовой, В. Хромов, ЖЭТФ, **65**, № 7 (1973).
35. Ю. С. Оселедчик, Е. И. Дудавский, Изв. высш. уч. зав. — Радиофизика, **16**, № 4, 552 (1973).
36. С. А. Ахманов, Ю. Е. Дьяков, Письма в ЖЭТФ, **18**, 519 (1973).
37. В. С. Летохов Письма в ЖЭТФ, **4**, 477 (1966); **6**, 262 (1967).
38. J. Grun, A. McQuillan, B. Stoicheff, *Phys. Rev.*, **180**, 61 (1969).
39. П. В. Елютин, Оптика и спектроскопия, **30**, 246 (1971).
40. С. А. Сорокин, Квантовая электроника, № 8 (1972).
41. H. Rowe, *IEE Trans. MTT*, **19**, 73 (1971).
42. D. Marcuse, *IEE Trans. MTT*, **20**, 541 (1972).

Московский государственный университет